

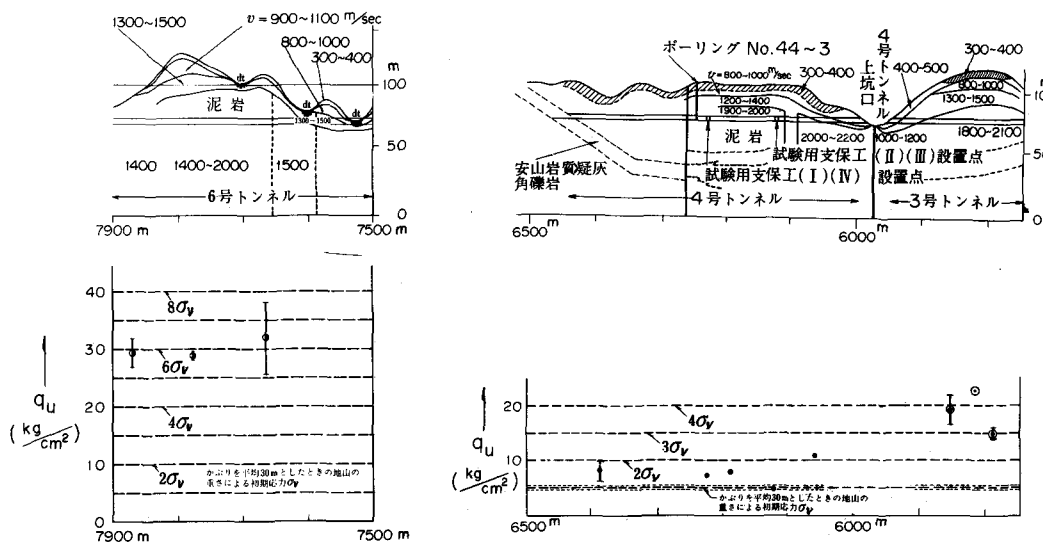
水路トンネルの岩圧(主として押し出し性～膨張性)の 実測例とそのメカニズムに関する考察

農林省農業土木試験場

造機部第一研究室 仲野良紀

1970年に東京で行われた国際トンネル工学シンポジウム(第6回トンネル工学シンポジウム)において足立氏は「膨張性があるかも知れない岩種は粘土性岩(泥岩、頁岩)、温泉余土、蛇紋岩、長石・雲母などを含む風化岩などと経験的比較的には、さりとて、地山が膨張するのかしないのかという予測ができることがある。外見上同じように見える同一岩種で膨張するものがあり、膨張しないものがある。この区別を現在は掘削後、支保工の変形、盤がくれるかしないによって判断しているが将来何らかの方法でもっと早く、できればボーリングコア及びを利用してよりかじめ知ることが可能であることが望まれる。地山の膨張性、有無および膨張性、ある場合の膨張性、程度を予測する技術を発達させるためには、まず地山がなぜ膨張するかの原因を究明する必要がある」と述べられて¹⁾いる。

この中、粘土性岩中にトンネルを掘削し実際に生ずる押し出し性～膨張性(足立氏はこれを両者を含めて「膨張性」と呼んでいたものと思われる)のメカニズムについて泥岩の物性との関連で数年前から定性的ではあるが筆者、著者と発表したことがあるが、農林省東北農政局能代開拓の水路トンネルの掘削中に遭遇した膨張性地帯の調査研究を行、大陸筆者の著者を裏付けとされる数々のデータが得られたのでここに紹介したい。なおこの際、村山氏によつて提案された方法によつて岩圧測定も行つたのでその具体的方法、測定結果、問題点などについても触れる。



(図1) 能代3, 4, 6号トンネルの地質縦断面と一軸圧縮強度 q_u 分布

1. 能代開拓3号, 4号, 6号トンネルの地質、岩質と膨張の状況

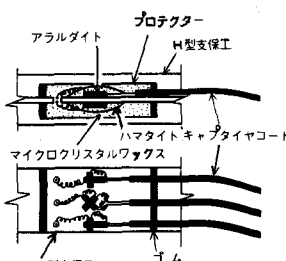
上記のいずれのトンネルの地山も地質的には新第三紀藤琴川層の泥岩より成り、弾性波速度は図1に示す通りトンネルの位置で1.9~2.0 km/sec.である。泥岩の一軸圧縮強度は3号トンネルでは5~10 kg/cm²(平均8 kg/cm²)であるが、3号トンネルではそれより2~3倍硬く15~25 kg/cm²、また6号トンネルでは3~5倍硬く25~40 kg/cm²であった(図1, 2参照)。また、Brazilian testの一軸圧縮試験の結果を3号トンネル用を図3に示す。

泥岩、粘土鉱物を調べる所に行き、たX線分析の結果は図4に示す通りで、無処理の場合16.0°, グリセロール処理の場合18.0°のモンモリロナイト特有のピークを示し、いずれの場合も膨張性粘土鉱物モンモリロナイトを含んでいたことは明らかである。

上述のように3, 4, 6号トンネルの泥岩は地質的には同じ地層に属し、肉眼的にもほとんど差がなく、膨張性粘土鉱物を含む場合も含有するが3号トンネルが掘削後間もなく顯著な押し出し性・膨張性地压を示したのに對し、3, 6号トンネルともさうような現象を示さなかつた。当初の設計では3号トンネルにはインパート・ストラットの付いていたH-100x100x6x8の鋼アーチ支保工を用いたが掘削開始後間もなく上下、左右方向から著しい押し出し・膨張性地压が作用し、支保工の変形が顯著となつた。特に左右からの圧力による断面の縮小が著しく、膨張による応急対策としてざまを得なくなつた。そこでインパート・ストラット付きのH-125x125x6.5x9の支保工に設計変更し、かつ地压(図3)Brazilian testの一軸圧縮試験の実態を把握するため、ワイヤー・ストレインゲージを貼付した支保工を建て込んだ。

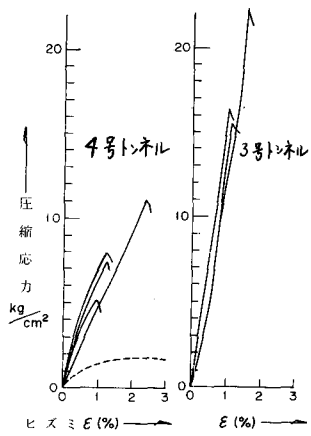
2. 岩圧の測定方法と測定結果

前述した通り材山山の考案による方法²⁾により、ゲージ貼付区间に作用する外力の合力(法線方向成分Pと接線方向成分S)とその作用位置を求めた(図5)が、悪条件下での現場で長期間正確に測定を行なうためにはゲージ保護や防湿処理¹²⁾、(図6)防湿処理とプロテクターは特別の工夫

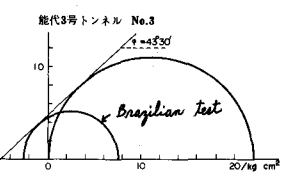


(図6) 防湿処理とプロテクターは特別の工夫

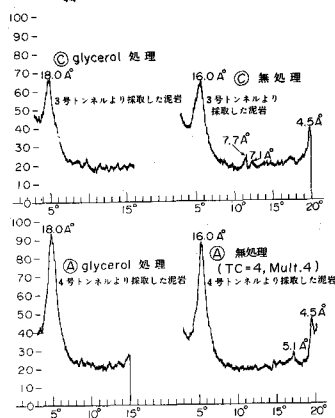
(図5) 外力計算と實際の支保工分割区间と内外力の記号と仮定した作用方向



(図2) 能代3, 4号トンネルの泥岩の一軸圧縮試験時の応力～ヒズミ曲線



(図3) 能代3号トンネル No.3
Brazilian test
能代4号トンネル
Brazilian test
結果から求めた泥岩のモードル用ヒズミ曲線



(図4) X線回折装置による粘土鉱物の検査結果

(いずれも膨張性粘土鉱物モンモリロナイトの存在を明らかにしない。モモリロナイトの存在は有無のみでなくトンネル掘削時より押し出し性・膨張性を十分予測することができる)を示す一例)

夫を要した。測定結果の一部を図7, 8に示す。

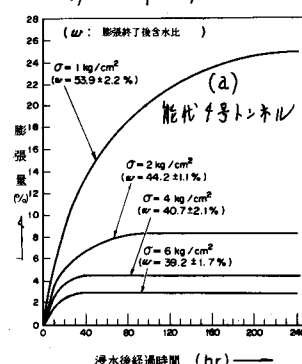
図8の30日目の外力を計算する際にはH鋼のヒダスが弾性領域を超えるもとの事が幾つかあつたので $E > 1,400 \times 10^6$ では $E_p = 1.9 \times 10^4 \text{ kg/cm}^2$ と定めることに決定した。建設後17日目の外力が上下左右方向切分ともより合力が互に良く合っていたのに30日目は上下方向の力にかなりの差が生じたりはこの原因に問題があるためと思われる。

3. 押出し～膨張性地圧・メカニズムに関する考察

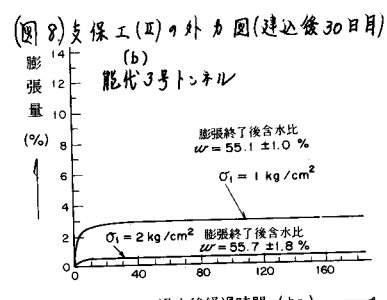
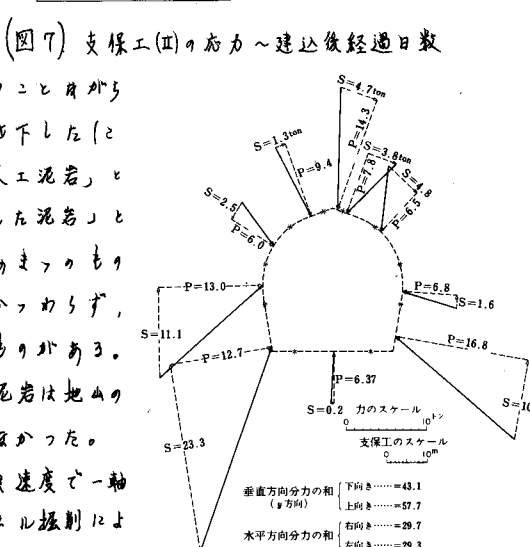
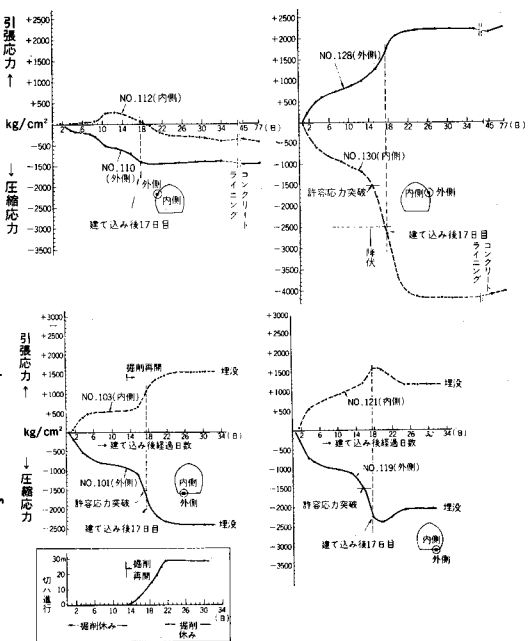
4号トンネルから採取した泥岩と自然含水比のまゝすり潰してからモールドに入れて元の密度のまま圧縮したもの（垂直応力 100 kg/cm^2 で圧縮した）を種々の荷重下で浸水して吸水させると図9(a)に示すようにかなりの荷重下でも顯著な吸水膨張を示した。それに対し図9(b)に示すように4号トンネルの「人工泥岩」の場合の膨張性はきめめて少い。また当然のことながら吸水膨張後は図9(b)に示すようにその強度は著しく低下したところよしに破碎後再度固め直すと筆者にかけて「人工泥岩」と呼んだことがあるが「乱した土」との類似で「乱した泥岩」と呼んでも良いであろう）。泥岩は一般に自然状態のまゝもとを浸水しても吸水膨張性をほとんど示さないにもかからず、上記のように一度破碎すれば著しい吸水性を示すものである。

ところで図1からも分かるように4号トンネルの泥岩は地山のかぶりによる垂直応力の2倍弱の圧縮強度しかなかった。

ここで言う圧縮強度とは骨材を1%程度、ヒダス速度で一軸圧縮を行ったときの破壊強度のことであるがトンネル掘削によって地山の破壊はかなり緩慢に進行するからモレオロジー的效果も考えればせいぜい程度を q_{so} としてよほどまである。また岩マスとしての岩盤を考えた場合、節理などにより影響によって強度はさうに割引いて考えておかねばならないであろう。結局トンネル



(図9) 人工泥岩(「乱した泥岩」)の吸水膨張～経過時間

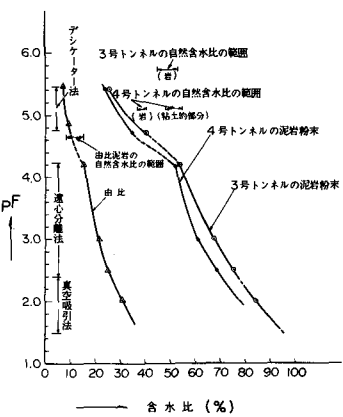


(図8) 支保工IIの外力圖(建て込み後30日目)

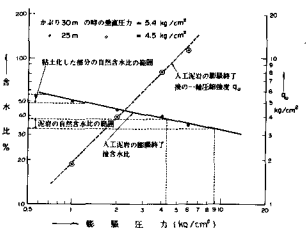
(a) 能代4号トンネル

(b) 能代4号トンネル

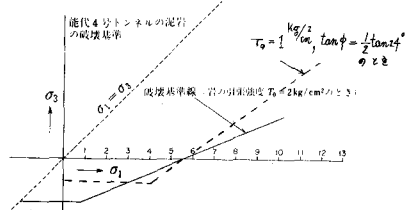
掘削時にその周辺に発生する応力集中に対する岩盤の強度として最終的に期待される $\sigma_{u\infty}$ としては試験片の強度、90%程度の値をとることよりとすれば $\sigma_{u\infty} = \sigma_u \times 0.7 \times 0.9 = \frac{\sigma_u}{2}$ となる。このように考えた場合 4 号トンネルの岩の強度は岩の自重による初期垂直応力の $\frac{1}{2}$ 程度しか得かなかったことになる。良く知られるところのように側圧係数 $K_0 = 1.0$ (テクト = ワク) を考えぬば $\nu = 0.5$ の場合 $\sigma_{u\infty}$ はトンネル掘削による応力集中では円形トンネルの場合その内空面においては周辺の土と同様の周方向応力は初期応力の 2 倍になり、 $K_0 = 0.8$ の場合 ($\nu = 0.6$) は上半にありて内空面での垂直応力は初期垂直応力の 3 倍となる (馬蹄形トンネルの場合もほぼ同様なことが言える)。したがって 4 号トンネルの場合側圧係数が 0.7 の場合から 1 の場合までトンネル周辺の泥岩は掘削による応力集中により破碎される状態にあつた訳である。破碎に伴うダイラタンションによる見掛けの体積の増大によってトンネル内空に向って押し出しされ上、トンネル周辺の塑性域 (トンネル掘削によって一種の「人工碎砕帶」図 13 参照) には無数のキレッ面、セン断面が発生し、そこから露出した活性面 (その化学式テンショナルは図 10, pF 値からも分るようにきわめて低い) に水が集り、その結果これまでの面に沿つての吸水膨張、軟弱化が進行し、トンネル内空への泥岩の押し出し現象が一層激しくなったものと考えられる。



(図 10) 自然含水比、まつ粉末化した
泥岩粉末の pF ~ 含水比曲線



(図 11) 各種の圧力下で吸水膨張させた
人工泥岩(乱れした岩石)の膨張終了後、
含水比と強度の関係(4号トンネル泥岩)



(図 12) 能代 4 号トンネルの泥岩の破壊基準

$$(注) ① \sigma_1 \geq \sigma_{u\infty} \left[1 - \frac{T_0}{\sigma_1} \right] = 0.86 \text{ のとき}$$

$$\sigma_1 \left[(\mu^2 + 1)^{1/2} - \mu \right] - \sigma_3 \left[(\mu^2 + 1)^{1/2} + \mu \right] \geq 2C$$

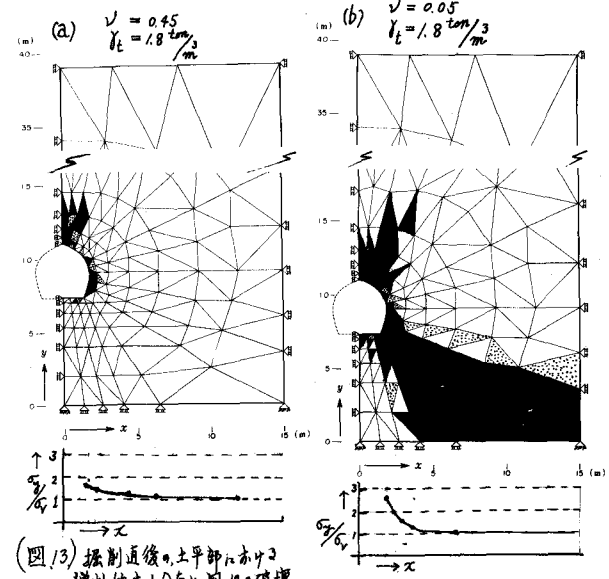
$$\therefore \mu = \tan \phi = \tan 27^\circ, C = 1.8 \text{ kg/cm}^2$$

$$T_0 = 2 \text{ kg/cm}^2 \text{ (引張強度), } \sigma_{u\infty} = 8 \times 0.7 = 5.6 \text{ kg/cm}^2$$

$$② \sigma_1 < 0.86$$

$$\sigma_3 = 2$$

③ さて岩は破壊するかを考えよ。
(上図の実験の場合)



(図 13) 掘削直後、土平部における
弾性的応力分布と、圖 12 の破壊
基準に基づく破壊領域 (ELEM=52)

(参考文献)

- 足立貞彦 (1970): 膨張性地山におけるトンネル施工法, トンネルシリーズ 7, 第 6 回トンネル工学シンポジウム, 土木学会
- 村山清郎, 松岡元 (1968): トンネル土圧算定方法と支保工における測定法, 土木学会誌 Vol. 53, No. 3, March
- Jaeger J.C. & Cook N.G.W. (1969): Fundamentals of Rock Mechanics, Methuen & Co. Ltd.

On the Mechanism of Squeezing and Swelling Rock Pressure of Mudstone on
Tunnel Support in Relation with the Case History of Noshiro Tunnel

Ryōki Nakano

Research Engineer, Dept. of Construction,
National Research Institute of Agricultural
Engineering, Ministry of Agriculture and Forestry.

This paper discusses the mechanism of squeezing and swelling rock pressure of mudstone and presents the quantitative data of rock pressure measured during tunnel construction in the field together with the associated measurements of physical and mechanical properties of the rocks.

Wire-strain-gauges were used to determine the axial force N , bending moment M and the shearing force Q (ref. Fig. 5) and the resultants of external forces P and S due to rock pressure were calculated at selected points using the method originally proposed by Prof. Murayama¹⁾, thus the pressure distribution concentric with the tunnel axis being obtained (Fig. 8).

Three of the tunnels of the main irrigation water line for Noshiro Reclamation Project in Akita Prefecture provide the data for this paper. These three tunnels No.3, No.4 & No.6 were all constructed in massive, occasionally faulted Tertiary mudstone named as Fujikotogawa Formation.

The phenomena encountered during the construction of the tunnel No. 4 were very different from those of the tunnels No.3 and No.6.

In the case of the tunnel No. 4, the heavy rock pressure caused an excessive deformation of the first placed light steel supports, resulting in the necessity to change to the heavier supports with invert struts.

However, in the case of the tunnels No.3 and No.6, the rock pressure was considerably smaller in spite of the fact that the mudstone encountered in these tunnels was apparently similar to those of the tunnel No. 4.

To investigate the reason for this and to assist in the deeper understanding of the mechanism of squeezing and swelling rock pressure, tests were made to determine the unconfined compressive strength q_u of the rocks, the swelling characteristics of the artificial mudstone or remoulded mudstone*, clay mineral identification and the pF water content relationships of the rock powder (Fig. 2, 4, 10).

As shown in Fig. 4, expansive clay minerals (montmorillonite) were contained in the mudstone of the three tunnels but as shown in Fig. 1 the strength, q_u of the rocks sampled from the tunnel No. 4 was approximately one half to one third (or even less) of those sampled from the tunnel No. 3 and No. 6 and nearly equal to or less than two times the initial vertical stress induced by the weight of the rock itself at the side wall, indicating that the mudstone around the walls of the tunnel No. 4 was broken and plastic zone of failure was formed (Fig. 13), whereas the mudstone of the tunnels No. 3 and No. 6 underwent little breakage by the stress of the same magnitude.

On top of this, the swelling capacity of the remoulded mudstone of the former tunnel was conspicuous (Fig. 9) and much larger than that of the latter.

These facts not only explain the reasons for the difference of the rock pressure phenomena but also the mechanism of the squeezing-swelling rock pressure of mudstone.

*This term was originally proposed by the author²⁾ to mean the rock artificially made by compressing the powder of wet natural mudstone by the compressive stress of about 100 kg/cm².

References:

- 1) Murayama S. & Matsuoka G. (1968): A method to measure rock pressure exerted on tunnel steel supports, Journal of the Japan Society of Civil Engineers, Vol. 53, No. 3, March.
- 2) Nakano R. (1967): On weathering and change of properties of Tertiary mudstone related to landslide, Soils and Foundations, Vol. VII, No. 1, January.
- 3) Jaeger J.C. & Cook N.G.W. (1969): Fundamentals of Rock Mechanics, Methuen & Co., Ltd.